

# 泥沙研究

第二卷 第一期

泥沙研究工作組編輯

1957

水利出版社出版

泥沙研究 第二卷 第一期

---

編輯者 泥沙研究工作組  
出版者 水利出版社  
發行者 新華書店  
印刷者 水利出版社印刷厂

---

本期印数 1—1,400 本期定价 1.2 元



# 泥 沙 研 究

第二卷 第一期

1957年6月

## 目 錄

- 有压管道內渾水的运动及其計算方法..... B.C. 克諾羅茲 ( 1 )  
明渠水力輸送及其計算..... B.C. 克諾羅茲 ( 30 )  
論泥沙懸浮功問題..... M.A. 費里琪諾夫 ( 49 )  
懸沙運動理論..... Ф.И. 弗蘭克里 ( 52 )  
懸移泥沙的流量的精确公式..... K.K. 奧爾羅夫  
Б.А. 費德曼 ( 56 )  
渠道懸移質含沙量的經驗关系式..... 范家驥 ( 59 )  
关于弯道上水流的問題..... 技術科学碩士 П.А. 張克因 ( 63 )  
春洪与淺灘..... C.B. 路撒可夫 ( 69 )  
关于沙浪的运动..... Ф.И. 費蘭克里 ( 73 )  
造床过程的模型律..... И.В. 叶吉札洛夫 ( 76 )  
水庫修建后發生的河床变形..... B.H. 岡查洛夫  
B.I. 波尔达夫采夫 ( 79 )  
在水平运动的流体介質中重的顆粒沉降的計算..... 苏聯技術科学候补博士  
Д.П. 別克列歇夫 ( 85 )  
泥沙水力学中需要研究的問題..... E.J. 卡爾遜  
C.R. 米勒 ( 91 )  
苏联河床演变文献目錄..... 謝鑒衡 ( 112 )

# 有压管道內渾水的运动及其計算方法

ДВИЖЕНИЕ ГИДРОСМЕСЕЙ В НАПОРНЫХ  
ТРУБОПРОВОДАХ И МЕТОД ИХ РАСЧЕТА

B.C. 克諾羅茲

## 1. 前 言

水力輸送，即借水流移运固体物質，是在建筑工程以及許多工業部門中已得到廣泛發展与使用的水力机械化施工的基本部分。

在苏联以及在國外，水力輸送已經应用極廣，并成为机械化施工的獨立部門。

选礦厂的廢礦石（尾礦砂），热能厂和电厂鍋爐房的煤渣，煉钢厂軋壓枕下的鐵屑等，都需要排除，通常只有在利用水力輸送法时，这些問題才算得到最好的解决。在苏联的許多企業中，已采取了这一类利用水力的方法。

顯然，在开采石炭等事業中，在决定水力机械化施工的規模和范围方面，水力輸送应当起很大的作用。

應該特別指出，水力机械化施工可能的有效使用范围，特別是水力輸送，正成为日益廣泛。

但是渾水运动問題，尚未得到在理論方面的解决，又缺乏实际工作者制訂的标准規範，所以水力机械化施工的合理設計和計算就發生困难。

为了实用，首先需要有適當的关系式，用以計算水管中渾水运动的損失水头，適合于各种实用流速数值、以及水中固体物質的各种含量的情况。

但是由于渾水运动的複雜性，此問題的理論解决，到現在还遇到未曾克服的巨大困难。因此，在水力輸送問題研究的現階段，最可靠的而且最迅速地达到目的方法，是廣泛的試驗研究和其后对試驗資料的必要的分析。

根据上述任务，为了進行水力輸送問題的試驗研究，作者在列寧格勒城水工科学研究院水力樞紐和泥沙試驗室里設計并建成了兩套試驗設備（圖1和圖2）。利用这些設備，作者用直徑250公厘的水管，進行了各種渾水运动的研究。

根据这些研究的結果，以及所得試驗資料的分析，現时已能清楚地想像有压管道中渾水运动状态，拟定其計算方法，并且按照以动力相似理論为根据的方法，把所有的試驗資料綜合起來。这些資料虽然还不多，但是用所有已經作成的綜合圖解形式，就能夠在水管直徑和沙料粒徑的廣大变化范围内，給予实际工作者以所需要的可靠的計算参考数。以下我們就叙述从这些研究所得出的成果和結論。

## 2. 有压輸泥管內渾水运动的特性

我們根据布拉赤（N.S.Blatch），奧布賴恩（M.P.O'Brien），豪厄德（G.W.Howard），和本文作者的觀察，來判断有压管道內渾水运动的特性。

布拉赤<sup>〔注1〕</sup>的研究是用黃銅管和鍍鋅鐵管，管子內徑各為25公厘（1英寸）。为了直接觀

〔注1〕 N. S. Blatch, Works for the purification of the water supply of Washington, Transactions of Amer. Soc. Civ. Eng., 1906, December, pp. 400—408.

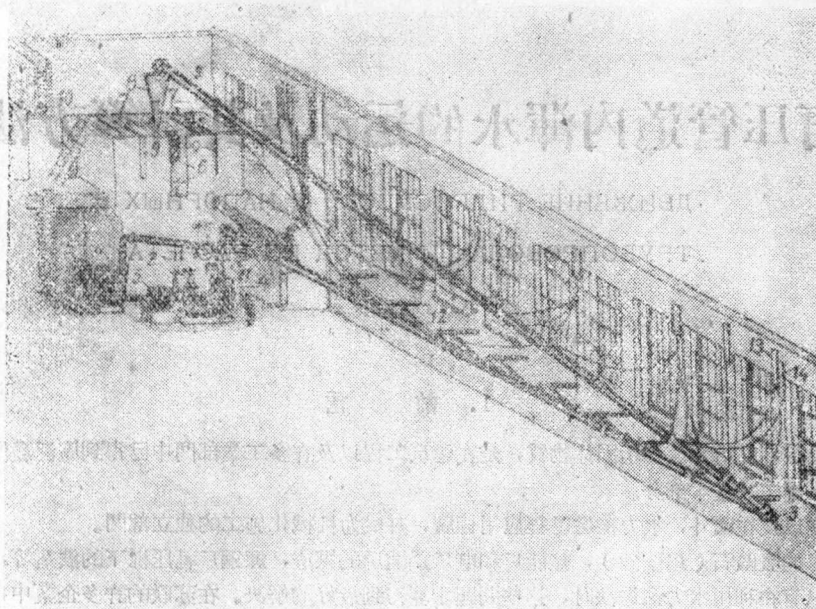


圖 1 研究水力輸送固体物質的試驗設備 (大型)

- 1—率定槽;  $W = 4.5$  立方公尺; 6—箱，在此取泥漿樣品；  
 2—蓄水槽， $W = 13$  立方公尺；7—水槽閘門手輪；11—活動門；  
 3—試驗管道；8—有活動接合的支管，用以把水引入率定槽；12—壓力容器；  
 4—“維爾夫列依”抽水系統；9—指示水面的玻璃管；13—開放式水銀測壓計；  
 5—電動機， $W = 75$  千瓦特；10—試驗系統的進水管；14—水銀比壓計；  
 15—從蓄水槽排出固体物質的孔。

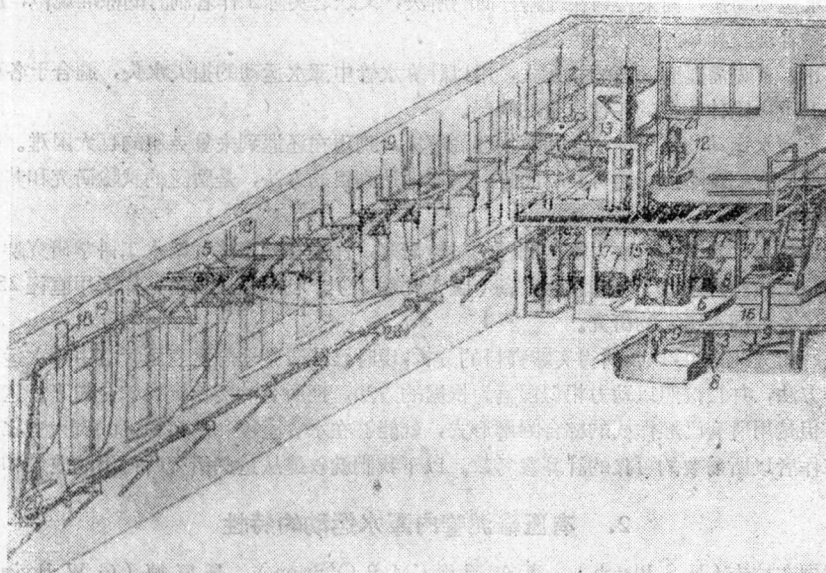


圖 2 研究水力輸送固体物質的試驗設備 (小型)

- 1—率定槽；2—蓄水槽；3—聚水坑；4—試驗管道；5—可改變比降的水槽；6—離心抽水機；7—電動機；8—抽水機進水管；9—拌和機；10—拌和機節速器；11—有活動接合的支管，用以把水引入率定槽；12—採樣筒和台秤；13—通風的鐘形調整器；14—排水管道；15—率定槽排水管；16—試驗系統的進水管；17—指示水面的玻璃管；18—水銀比壓計；19—開放式水銀測壓計；20—壓力容器；21—漏出漬水樣品容器的龍頭；22—配電盤。

察水流和泥沙运动的特性，在兩個試驗水管中，曾安裝了不長的玻璃段。

奧布賴恩〔注 2〕的渾水运动試驗，是用內徑 50 公厘（2 英寸）和 75 公厘（3 英寸）的鐵管〔柏克立試驗（Бекелейские опыты）〕。渾水运动特性的觀察，是用裝在 2 英寸管子上的玻璃管。

豪厄德〔注 3〕進行渾水运动特性的觀察，是用內徑 100 公厘（4 英寸）的有压鐵管，也在試驗管道上裝有專門的玻璃管。

在我們的研究中，觀察內徑 10 英寸（250 公厘）

鋼管內渾水运动特性，是用特別安裝在管壁上的玻璃窗，如圖 3 所示。

根據上列各家的觀察，渾水运动的特性，在原則上可敘述如下：

渾水运动的状态可分为三类：

1. 高流速状态，
2. 过渡状态，
3. 低（小）流速状态〔注 4〕。

第一种状态（即高流速状态）是，在渾水运动中的固体物質，全部处于懸浮状态。此时的流速称为臨界流速。

按照我們的肉眼觀察以及一些測量，“接近”臨界流速的渾水水流状态是，水流下層內固体物質的含量最大，上層內含量最小。

在流速超过臨界流速时，固体物質沿水管斷面垂直線上的分布更加均匀，虽然在很長時間內水流底部的含沙量还是最大的。

作为高流速状态下限的臨界流速，是过渡状态的上限；过渡状态是，一部分的固体颗粒在水流中呈懸浮状态而移动，同时另一部分（最粗的部分）系沿水管底部移动。此时在过渡区間內，有时可以看到，正如我們的觀察指出，固体颗粒在水管底部，堆積成小沙丘形狀，小沙丘随时形成，随时逐渐地或是在一刹那間被水流冲走。这种状态的不穩定性，就是它的特性之一。此外應注意到，正如布拉赤和我們的試驗所指出的，这种情况在固体颗粒的組成不均匀时，特別顯著。

第三种状态（即低流速状态）是，在水流內含有固体颗粒时，水管断面的底部为淤積的固体颗粒所复盖。渾水在呈部分淤積状态的水管中流动，此时真实流速大于平均流速，而平均流速（即在計算时用  $\frac{1}{4}\pi D^2$  除流量所得的商）成为虚拟流速。此时流动的渾水，保护着管壁和淤積的底部。渾水中固体颗粒的被輸送，是一部分呈懸浮状态，另一部分沿着沙底而進行。这部分沿管底移动的固体颗粒，基本上成为高度可以变化的沙丘形式。从安装的玻璃管觀察渾水运动，就可看到淤積物厚度随时改变；淤積物頂部高程大約接近某一平均值而变动，因此，在“低”流速区，有压渾水的水力状态是不稳定的。根据对于渾水运动的觀察，在各种流速和水中固体颗粒的各种含量时，我們得到了关于水流状态的同一概念。必需指出，在中流速和低流速状态之間，沒有明顯界限（流速特性）；在某种流速“範圍”内，这两种状态常常互相轉換。

为了判断在有压水管中固体颗粒沿水流断面分布的特性，我們根据在直徑为 250 公厘的鐵管內所

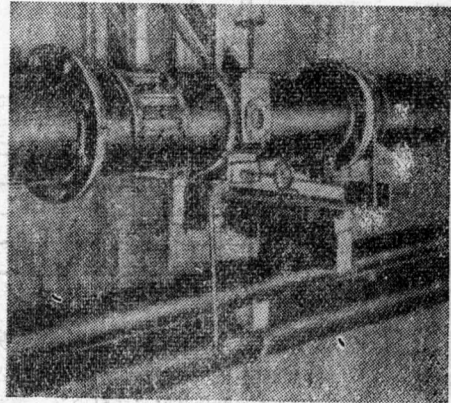


圖 3 在管道上所開的孔，用以觀察渾水的運動，和裝置測驗含沙量的儀器

〔注 2〕 Morrough P. O'Brien and Richard G. Folsom, The transportation of sand in pipe lines, University Of California Publications in Engineering, Vol. 3, No. 7, pp. 343-384.

〔注 3〕 G. W. Howard, Transportation of sand and gravel in a four-inch pipe, Proceedings Amer. Soc. Civ. Eng., 1938, September, No. 7, pp. 1377-1391.

〔注 4〕 这里和下文所說的平均流速，系指以輸水管断面面積（即  $w = \frac{1}{4}\pi D^2$ ）除渾水流量所得的商数。

Qdf 25/10

進行的測量，繪制圖 4 和 5 [注 5]。圖中有表示渾水水流特性的必要資料。

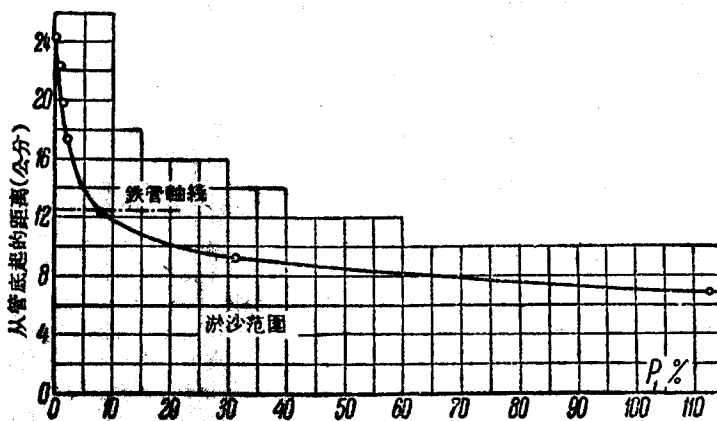


圖 4 在直徑  $D=250$  公厘鐵管橫斷面垂直直徑上的含沙量分布曲線

沙的特徵:  $\gamma_T=2.71$ ;  $d_{cp}=0.18$  公厘;  $\omega_{cp}=2.51$  公分/秒。渾水的特徵:  $\gamma_{OM}=1.045$ ;  $P_1=8.5\%$  (按重量計);  $t=37.5^\circ C$ 。管底淤沙  $h=6.0$  公分。  
渾水虛擬流速  $v_e=Q/F=1.62$  公尺/秒，渾水真實流速  $v_{cp}=2.0$  公尺/秒。 $I=0.0189$ 。

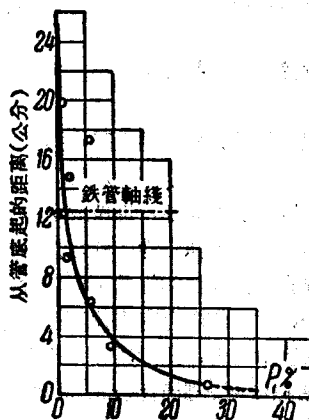


圖 5 在直徑  $D=250$  公厘鐵管橫斷面垂直直徑上的含沙量分布曲線

沙的特徵:  $\gamma_T=2.71$ ,  $d_{cp}=0.18$  公厘,  $\omega_{cp}=2.51$  公分/秒。  
渾水的特徵:  $\gamma_{OM}=1.032$ ,  $P_1=6.2\%$  (按重量計),  $t=34.5^\circ C$ 。沒有淤沙。 $v_{cp}=2.86$  公尺/秒。  
 $I=0.0279$ 。

圖 4 是屬於在管底有高 6 公分的淤沙的情況（“低”流速狀態）。

圖 5 表示，在渾水中固体物質呈全部懸浮狀態而其流速稍微超過臨界流速時，沿水管斷面垂直直徑上含沙量的分布。

[注 5] 這裡不能介紹這些測量的方法和採樣器的構造。我們僅僅說明，渾水的採樣器是彎成直角的管子，放在水流里就正像在測流速時把畢托管放在水流里一樣。在採樣器的進水管里，適當的阻力，保持適當的渾水流速。

### 3. 水管中浑水运动时水头损失变化的特性

关于水管中水头损失变化特性的研究，目前有大量试验资料。我们在这里，把这些资料，按照浑水运动的各种情况，和水中固体颗粒的各种含量，画出图来表示单位长度上的水头损失（比降）与平均流速的关系（注6）。

图6、7、8、9、10和11中所表示的是布拉赤用镀锌铁管和黄铜管试验所得的资料。管子直径为25公厘，沙子平均粒径为0.7和0.2公厘。这些资料发表于1906年。我们现在的分析中，引用这些资料。

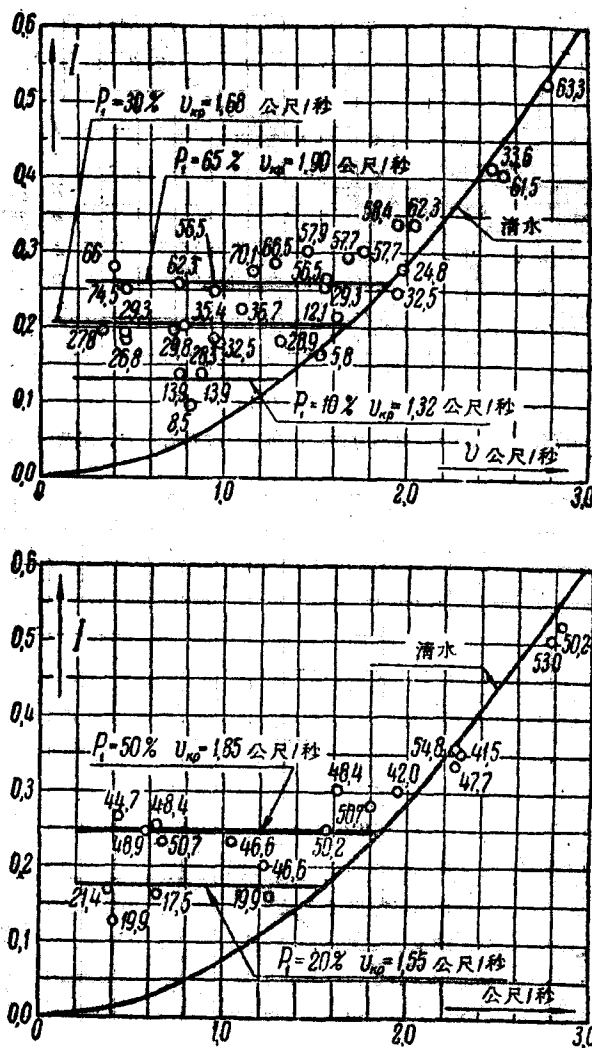
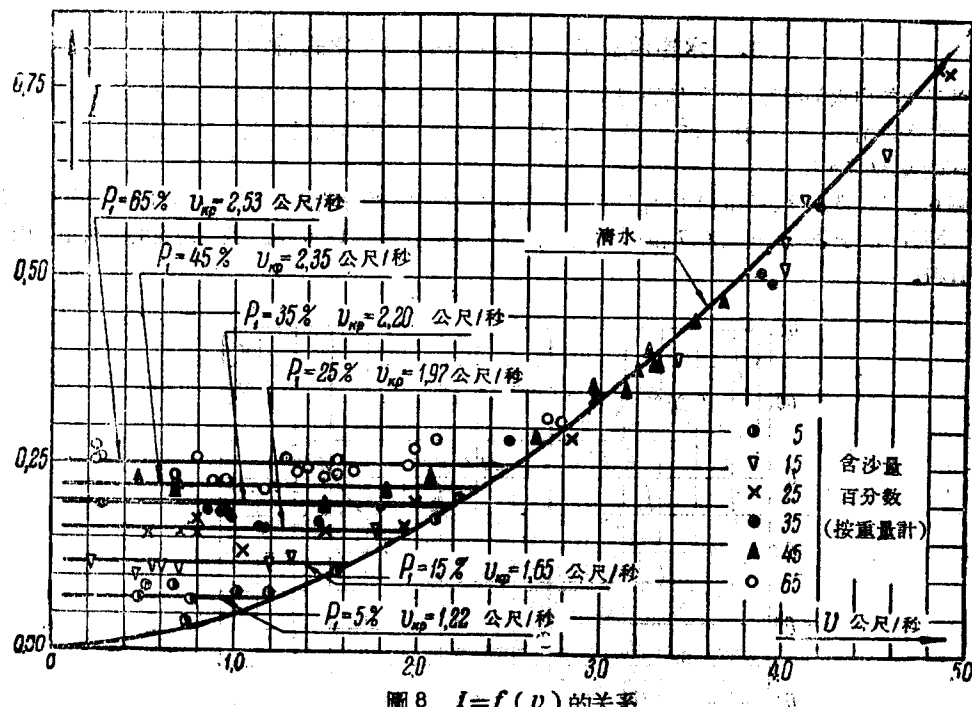


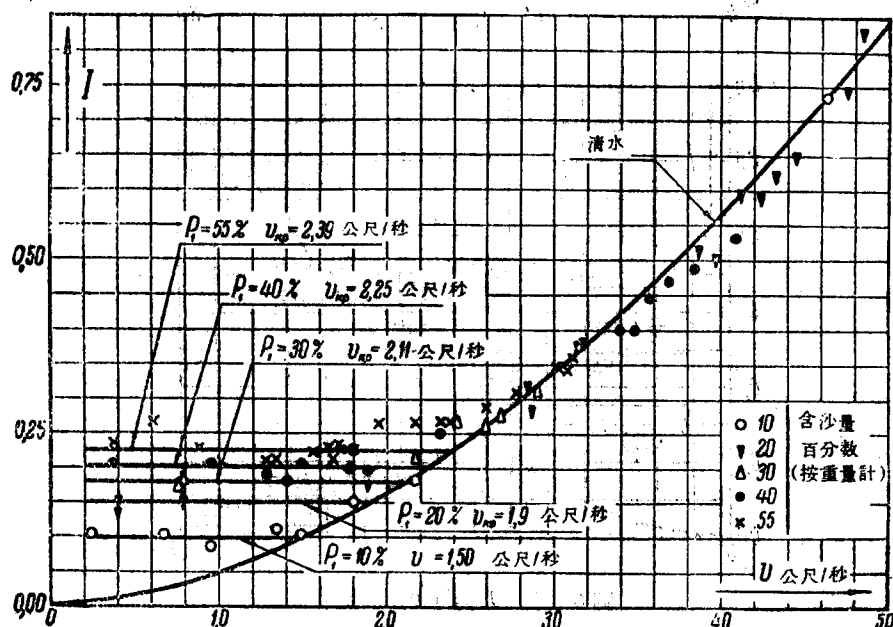
圖 6 和 7  $I=f(v)$  的关系

沙的特征:  $d_{sp}=0.7$  公厘,  $\omega_{cp}=7.4$  公分/秒。1906年布拉赤的试验。用镀锌铁管,  $D=25$  公厘。

[注6]在各图中, 浑水运动的水头损失, 都用所输送浑水的水柱高度来表示。

圖 8  $I=f(v)$  的關係

沙的特徵:  $d_{cp}=0.7$  公厘,  $\omega_{cp}=7.4$  公分/秒。1906年布拉赤的試驗。用黃銅管,  $D=25$  公厘。

圖 9  $I=f(v)$  的關係

沙的特徵:  $d_{cp}=0.7$  公厘,  $\omega_{cp}=7.4$  公分/秒。1906年布立赤試驗。用黃銅管,  $D=25$  公厘。

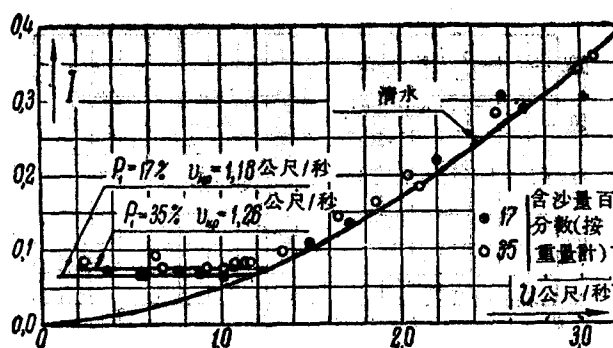
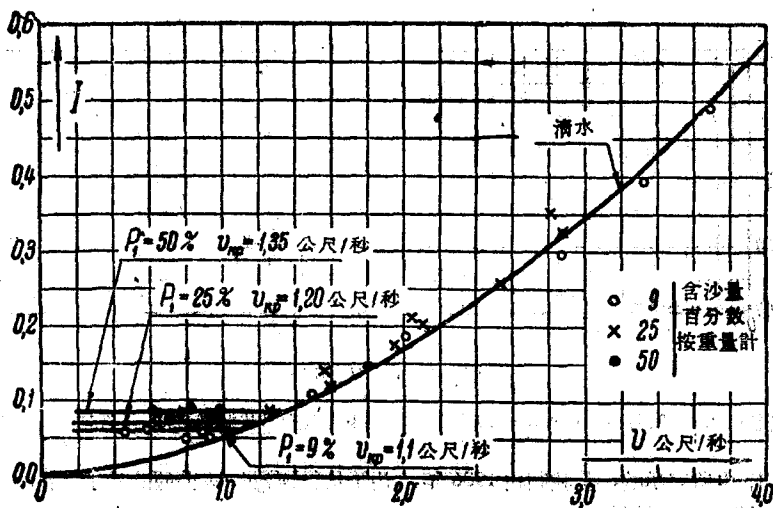


圖10和11  $I=f(v)$  的关系

沙的特征:  $d_{cp}=0.2$  公厘,  $w_{cp}=2.42$  公分/秒。1906年布拉赤試驗。用黃銅管,  $D=25$  公厘。

圖12和13中所表示的, 是我們分析 ЦНИИВТ 1936 年試驗資料的結果。當時使用平均粒徑為 0.47 公厘的沙子, 在直徑為 130 公厘的鐵管內進行試驗。

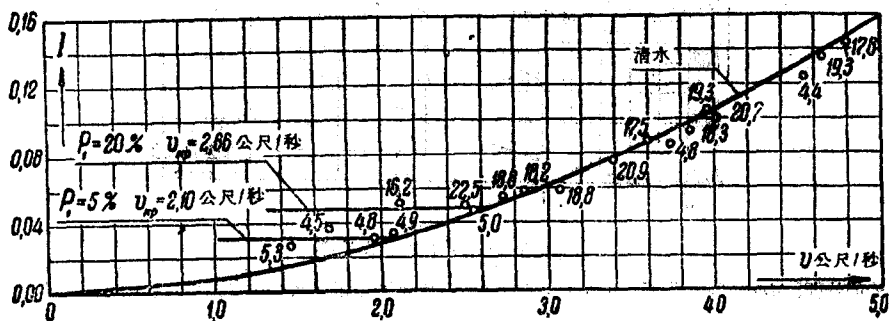
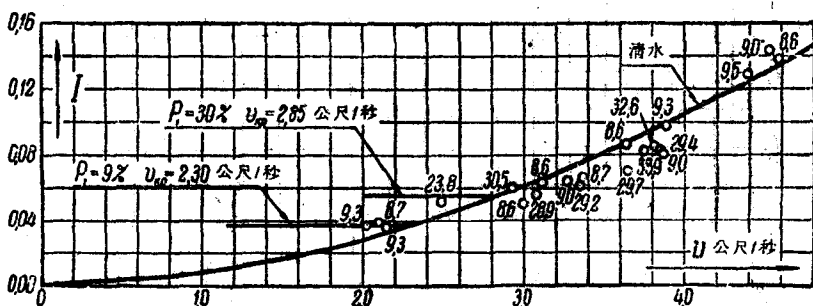


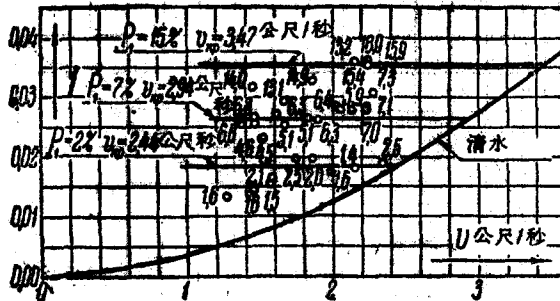
圖12  $I=f(v)$  的关系

沙的特征:  $d_{cp}=0.47$  公厘,  $w_{cp}=5.9$  公分/秒。1936年帕爾莫夫斯基試驗。用鐵管,  $D=130$  公厘。

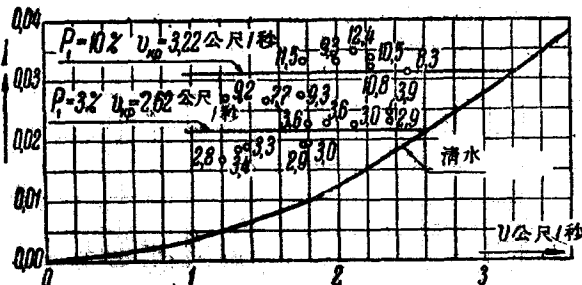
圖13  $I=f(v)$  的关系

沙的特征:  $d_{cp}=0.47$  公厘,  $\omega_{cp}=5.9$  公分/秒。1936年帕爾契夫斯基試驗。用鐵管,  $D=130$  公厘。

圖14和15中所表示的, 是我們在1936年, 用平均粒徑為0.42公厘的砂子, 在直徑為250公厘的鐵管內, 所作試驗的結果。

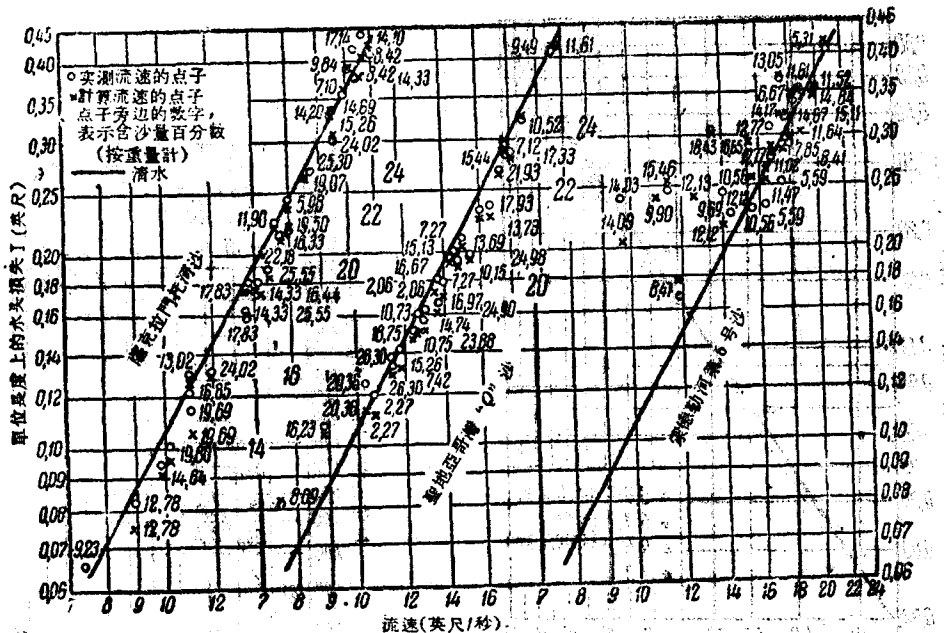
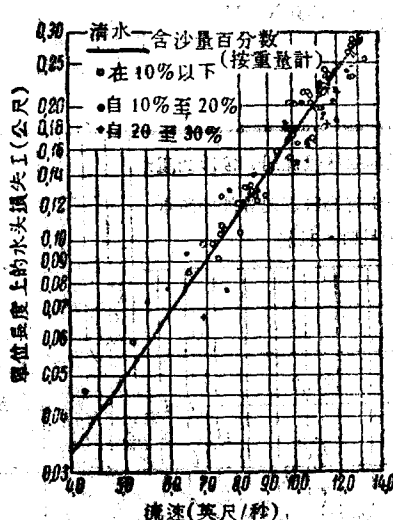
圖14  $I=f(v)$  的关系

沙的特征:  $d_{cp}=0.42$  公厘,  $\omega_{cp}=5.2$  公分/秒。1936年克諾羅茲的試驗。用鐵管,  $D=250$  公厘。

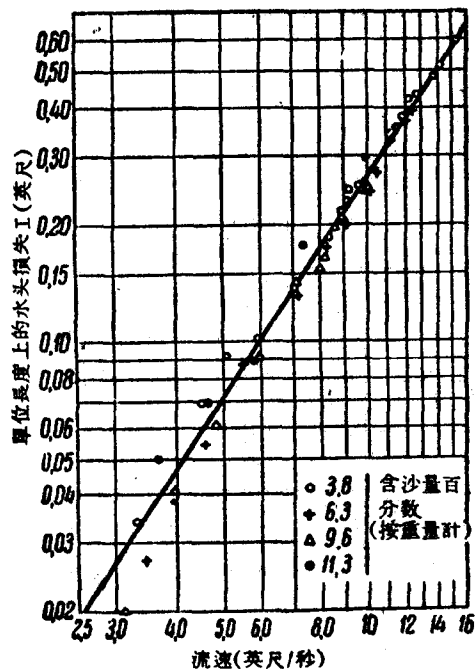
圖15  $I=f(v)$  的关系

沙的特征:  $d_{cp}=0.42$  公厘,  $\omega_{cp}=5.2$  公分/秒。1936年克諾羅茲的試驗。用鐵管,  $D=250$  公厘。

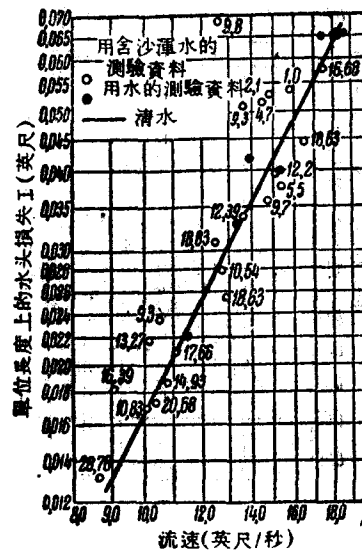
圖16和17所表示的, 是奧布賴恩在1937年發表的試驗結果。這些試驗(柏克立試驗)是用河沙, 在直徑3英寸和2英寸的兩道鐵管內進行的。

圖 16  $I=f(v)$  的关系奧布賴恩的試驗(柏克立試驗)。用鐵管,  $D=3$  英寸。圖 17  $I=f(v)$  的关系奧布賴恩的試驗(柏克立試驗)。用  $D=2$  英寸的鐵管, 用薩克拉門托河沙。

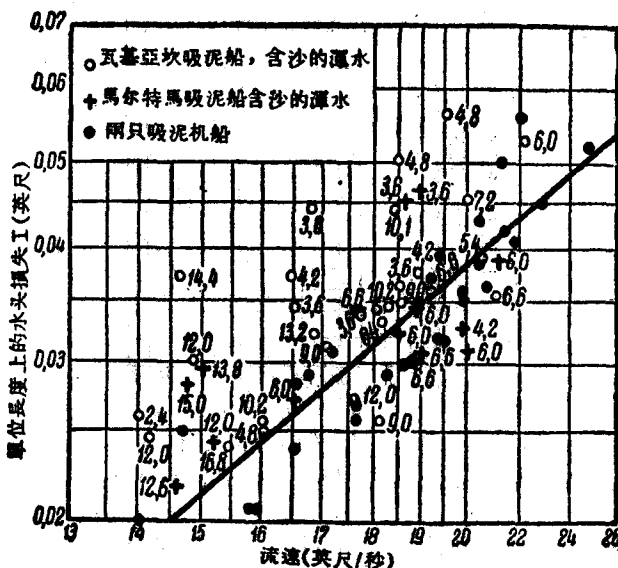
此外，在奧布賴恩的報告中，並引用了兩種資料。一種是米克莫（Mikumo）用銅礦沙在 $1\frac{1}{2}$ 英寸直徑的管子中所作試驗的資料。另一種是幾只吸泥船的輸泥管，在吸泥時的實測資料；這包括“薩克直拉門托（Сакраменто）”和“季爾斐特（Гульфорт）”兩只吸泥船的24英寸直徑輸泥管和哥倫比亞河上吸泥船的24英寸直徑輸泥管的資料（見圖18、19和20）。

圖18  $I=f(v)$  的关系

根据奧布賴恩的資料。用  $D=1\frac{1}{2}$  英寸的鐵管，以水力輸送銅礦〔密克謨(Mikumo)試驗〕。

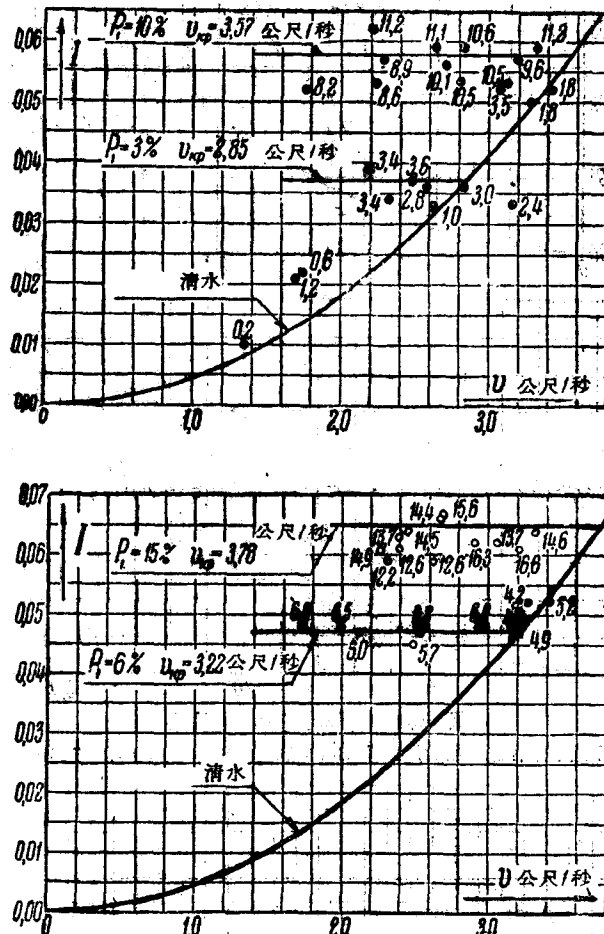
圖19  $I=f(v)$  的关系

根据奧布賴恩的資料；由吸泥船“薩克拉門托”和“季爾斐特”吸取含沙的潭水，用直徑 20 英寸的标准吸泥管。

圖20  $I=f(v)$  的关系

根据奧布賴恩的資料，在哥倫比亞河上的瓦基亞坎(Wahkiakum)和馬爾特馬(Multhomah)兩只吸泥船，用直徑 24 英寸的標準鐵管，輸送含沙的潭水。

我們在 1939 年，用平均粒徑為 0.65 公厘的沙子，和巴爾哈什（Балхаш）煉銅廠里選礦廠的尾礦砂（平均粒徑為 0.066 公厘），在鐵管中所作試驗的資料，表示在圖 21、22、23 和 24 中。

圖21和22  $I=f(v)$  的關係

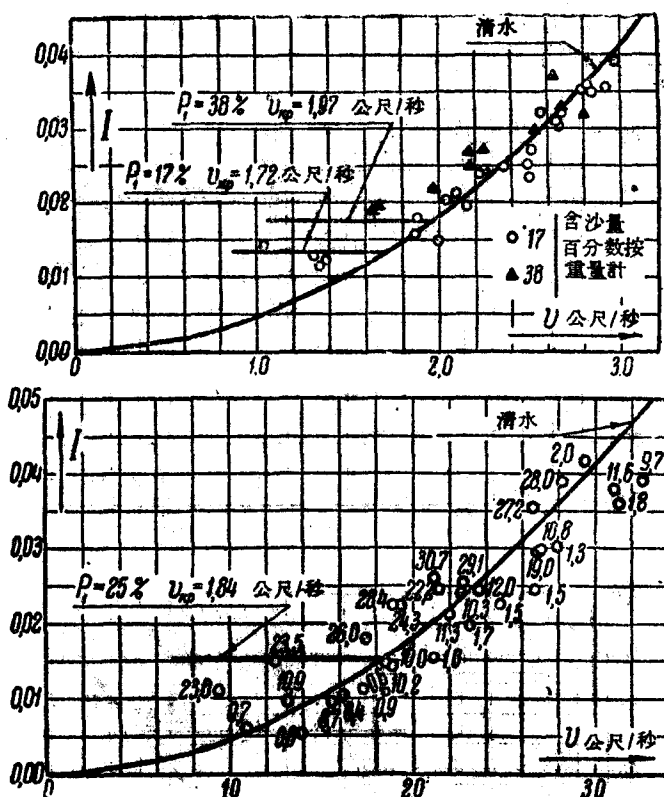
沙的特征： $d_{cp}=0.65 \text{ 公厘}$ ， $\omega_{cp}=7.9 \text{ 公分}/\text{秒}$ 。1939年克諾羅茲的試驗。用鐵管， $D=250 \text{ 公厘}$ 。

我們把 1938 至 1939 年間克里門托夫（Климентов）工程師在古比雪夫水力樞紐水力機械化施工試驗室〔在德米特羅夫（Дмитров）城〕的試驗資料，加以分析研究，所得結果見圖 25 至 29〔注 7〕。

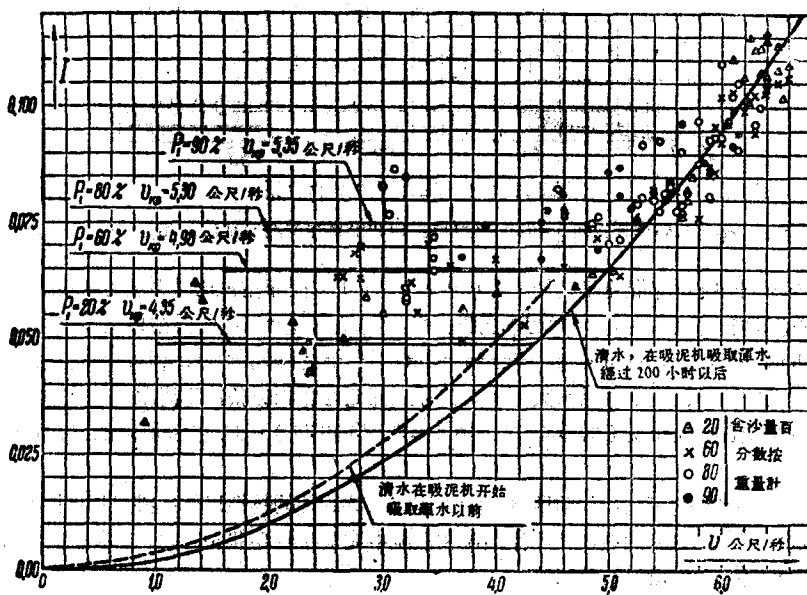
研究了上述資料以後，就可知道，毫無例外的，對所有各樣的渾水和各種的管道，從某一平均流速起，以渾水水柱高度所表示摩擦水頭損失，實際上都是與在相似條件下清水的水頭損失一樣。這一見解不僅為試驗室資料所証實（圖 6 至 11、16 至 18、23 和 24），且為實地測驗資料所証實（圖 19 和 20）。

布拉赤和奧布賴恩的研究，如前所述，除了測定水流的量的特性以外，並且用肉眼觀察渾水運動狀態。根據這些研究，就可知道，從固體顆粒在水流中完全呈懸浮狀態時起，即從流速等於臨界流速時起，渾水與清水的水頭損失即屬相等。

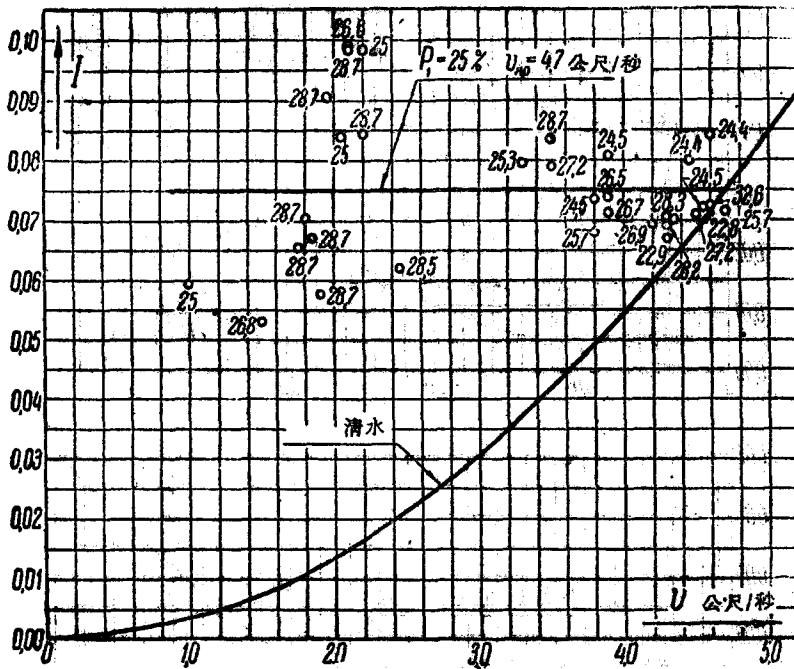
〔注 7〕 为了不使本文过长，这些資料未全部引用。

圖23和24  $I=f(v)$  的关系

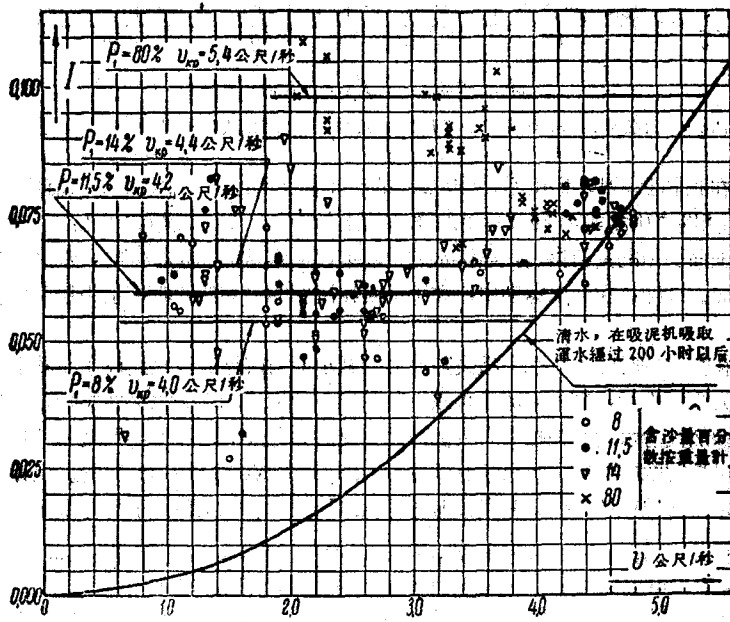
1939年克諾羅茲的試驗。用巴爾哈什鹽場的尾礦沙,  $d_{cp}=0.066 \text{ 公厘}$ ,  $\omega_{cp}=0.86 \text{ 公分/秒}$ 。用鐵管,  $D=250 \text{ 公厘}$ 。

圖25  $I=f(v)$  的关系

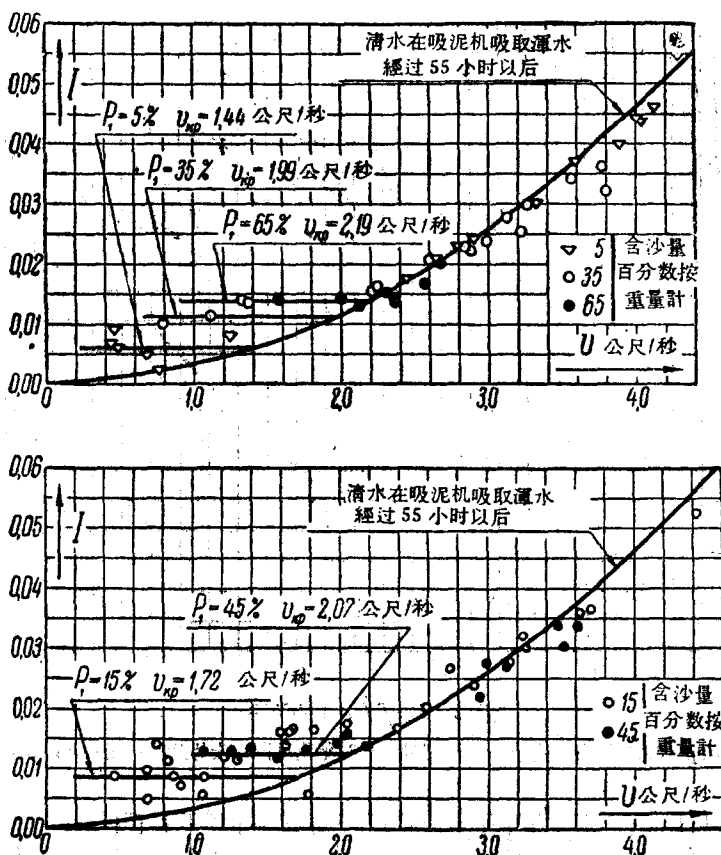
沙的特征:  $d_{cp}=0.79 \text{ 公厘}$ ,  $\omega=8.7 \text{ 公分/秒}$ 。1938年克里門托夫的試驗, 用鐵管,  $D=255 \text{ 公厘}$ 。

圖26  $I=f(v)$  的关系

沙的特征:  $d_{cp}=0.79$ 公厘,  $\omega_{cp}=8.7$ 公分/秒。1938年克里門特夫的試驗, 用鐵管,  $D=306$ 公厘。

圖27  $I=f(v)$  的关系

沙的特征:  $d_{cp}=0.79$ 公厘,  $\omega_{cp}=8.7$ 公分/秒。1938年克里門托夫的試驗。用鐵管,  $D=306$ 公厘。

圖28和29  $I=f(v)$  的关系

沙的特征:  $d_{cp}=0.1$ 公厘,  $\omega_{op}=0.99$ 公分/秒。1939年克里門托夫的試驗。用鐵管,  $D=306$ 公厘。

這一情況,在我們于1940年用直徑250公厘的有壓管道所作研究中,也完全証實,而在我們自1936至1939年間用明槽所作無壓渾水運動的許多試驗資料中,又經証實[注8]。

進一步分析上面引用的資料指出,當渾水的平均流速從臨界流速起降低時,水頭損失變化的特性,即與清水不同。亦即,在渾水運動中,在小於臨界流速的一切流速時,水頭損失較在清水中為大。

最初,一般在較短的時間內,水頭損失隨流速的減小(與臨界流速相比較)而減小,但此時仍較清水的水頭損失為大,之後,當平均流速再減小時,每一種渾水的水頭損失在實際上約為常數;在此區域內,其數值顯然較清水的水頭損失為大。當然,這正如此處的附圖(特別是圖14、15等)所指出的,水頭損失保持常數的性質,也只是有条件的,因為試驗點子是頗為分散的。但是,十分明顯,所有這些點子仍是很規律地靠近某些穿過與各種含沙量相對應的試驗點子羣的水平直線。我們的研

[注8] В. С. Кнороз. Технический отчет по работе "Составление технических условий и норм для проектирования и расчета пульповодов". 1937 г.

В. С. Кнороз. Технический отчет по работе "Установление гидравлических характеристик для расчета гидравлических транспорта хвостов прибалхашской обогатительной фабрики", 1939 г.

В. С. Кнороз 的其它研究报告。